УДК 547.783

# СИНТЕЗ, АНТИХОЛИНЭСТЕРАЗНАЯ И АНТИРАДИКАЛЬНАЯ АКТИВНОСТЬ 2,3,5-ТРИЗАМЕЩЕННЫХ 4(H)-ИМИДАЗОЛ-4-ОНОВ, АНАЛОГОВ ХРОМОФОРА ЗЕЛЕНОГО ФЛУОРЕСЦЕНТНОГО БЕЛКА

© 2023 г. В. О. Топузян<sup>1</sup>, С. Р. Тосунян<sup>1</sup>, А. Т. Макичян<sup>1,2,\*</sup>, Э. А. Акопян<sup>1</sup>, Л. Х. Галстян<sup>3</sup>, А. А. Оганесян<sup>1</sup>

<sup>1</sup> Научно-технологический центр органической и фармацевтической химии Национальной академии наук Республики Армения, пр. Азатутян 26, Ереван, 0014 Армения
<sup>2</sup> Российско-Армянский университет, Ереван, 0051 Армения
<sup>3</sup> Ереванский государственный университет, Ереван, 0025 Армения
\*e-mail: ani.makichyan@rau.am

Поступило в редакцию 23 января 2023 г. После доработки 10 февраля 2023 г. Принято к печати 14 февраля 2023 г.

Азлактонным методом осуществлен однореакторный синтез N-замещенных α,β-дегидротирозилдипептидов. Целевые дипептиды были получены с хорошими выходами (53–79%). Из последних получены 2,3,5-тризамещенные 4-имидазолоны с применением 1,1,1,3,3,3-гексаметилдисилазана в качестве дегидритирующего агента. Выявлено, что в случае β-аланинсодержащих пептидов наблюдается отрыв метилового эфира акриловой кислоты и образование 2,5-дизамещенного 4-имидазолона. Исследованы антирадикальные и антихолинэстеразные свойства синтезированных соединений. Осуществлен докинганализ некоторых дипептидов и имидазол-4-онов.

**Ключевые слова:**  $\alpha$ , $\beta$ -дегидропептиды, 4(H)-имидазол-4-оны, гексаметилдисилазан, антирадикальные свойства, антихолинэстеразные свойства

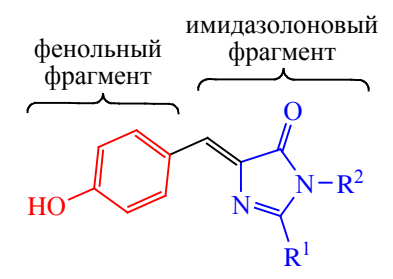
**DOI:** 10.31857/S0044460X23040017, **EDN:** ATEGBU

Хромофор зеленого флуоресцентного белка имеет структуру 4-имидазолона (схема 1) [1]. Структурные особенности этого хромофора позволяют предположить о конструировании на его основе веществ, проявляющих как антихолинэстеразные, так и антирадикальные свойства. Ранее было установлено, что 4-имидазолоны способны ингибировать ацетил- и бутирилхолинэстеразы [2–6]. С другой стороны имеются многочисленные свидетельства об антирадикальных свойствах соединений, содержащих фрагмент фенола [7]. Комбинация отмеченных структурных фрагмен-

тов (4-имидазолоны и фенолы) может привести к соединениям, обладающим как антихолинэстеразными, так и антирадикальными свойствами. При конструировании таких молекул легко убедиться, что один из вариантов является аналогом хромофора зеленого флуоресцентного белка. В связи с этим нами предпринят синтез аналогов хромофора зеленого флуоресцентного белка и исследование их антирадикальных, а также антихолинэстеразных свойств.

Для синтеза целевых имидазолонов в качестве исходных веществ применяли метиловые эфиры

#### Схема 1.



N-бензоил-α,β-дегидротирозилдипептидов. Синтез глицин- и фенилаланинсодержащих дипептидов 5–8 осуществляли однореакторным синтезом, включающим две стадии: (1) конденсацию мети-

ловых эфиров аминокислот **3**, **4** с соответствующими ненасыщенными 5(4H)-оксазолонами **1**, **2** и (2) удаление О-бензоильной группы из полученных N,О-дибензоилдипептидов 3-(N,N-диметиламино)пропил-1-амином (схема 2).

В спектрах ЯМР пептидов **5–8** винильный протон α,β-дегидротирозина проявляется при 7.09–7.34 м. д., что говорит о *Z*-конфигурации этих соединений. Выходы дипептидов **5–8** колеблются в пределах 53–79%. В этом случае исключается выделение и очистка N,О-дибензоил-α,β-дегидротирозилдипептидов, что было осуществлено в работе [8] при синтезе аналогичных дипептидов **9–14**.

Дегидратация дипептидов **6–14** в ДМФА 1,1,1,3,3,3-гексаметилдисилазаном (ГМДС), по

# Схема 2.

BzO

R<sup>2</sup>

COOMe

1) MeCN, 
$$\Delta$$
, 2–5  $\Psi$ 

2) H<sub>2</sub>N(CH<sub>2</sub>)<sub>3</sub>NMe<sub>2</sub>,  $\Delta$ , 2–3  $\Psi$ 

5–8

 $R^{1} = OMe$ ,  $R^{2} = CH_{2}C_{6}H_{5}$  (1, 3, 5);  $R^{1} = H$ ,  $R^{2} = CH_{2}C_{6}H_{5}$  (2, 6);  $R^{1} = R^{2} = H$  (4, 7);  $R^{1} = OMe$ ,  $R^{2} = H$  (8).

# Схема 3.

$$R^{2}$$
O O (CH)<sub>n</sub>COOMe

HN

 $N^{-}$ 
(CH)<sub>n</sub>COOMe

 $R^{2}$ 
 $R^{-}$ 
 $R^{-}$ 

 $R^{1} = H$ ,  $R^{2} = Bn$ , n = 1 (6, 15);  $R^{1} = R^{2} = H$ , n = 1 (7, 16);  $R^{1} = OMe$ ,  $R^{2} = H$ , n = 1 (8, 17);  $R^{1} = OEt$ ,  $R^{2} = H$ , n = 1 (9, 18);  $R^{1} = R^{2} = H$ , n = 2 (10, 19);  $R^{1} = OMe$ ,  $R^{2} = H$ , n = 2 (11, 20);  $R^{1} = OEt$ ,  $R^{2} = H$ ,  $R^{2$ 

ЖУРНАЛ ОБЩЕЙ ХИМИИ том 93 № 4 2023

#### Схема 4.

# Схема 5.

Ph COOMe

Ph NH

$$\frac{(Me_3Si)_2NH}{-PhCONH_2}$$
 $\frac{(Me_3Si)_2NH}{a}$ 

Ph NH

COOMe

 $\frac{(Me_3Si)_2NH}{-PhCONH_2}$ 
 $\frac{(Me_3Si)_2NH}{a}$ 

Ph NH

COOMe

 $\frac{(Me_3Si)_2NH}{-PhCONH_2}$ 

Ph NN

COOMe

 $\frac{(Me_3Si)_2NH}{-PhCONH_2}$ 

Ph 16

разработанному ранее нами методу [3, 4], при кипячении в течение 15–25 мин привела к образованию целевых 2,3,5-тризамещенных 4-имидазолонов **15–23** с выходами 62–94% (схема 3).

Изучение реакции метилового эфира N,О-дибензоил- $\alpha$ , $\beta$ -дегидротирозилглицина **24** с ГМДС (соотношение реагентов 1:4) в ДМФА при 150°С показало, что в течение 15 мин образуется смесь, состоящая из двух соединений с  $R_{\rm f}$  0.57 и 0.83 (схема 4). Отметим, что исходный пептид **24** имеет  $R_{\rm f}$  0.50. На основании данных ЯМР  $^{\rm 1}$ Н установлено, что смесь состоит из метилового эфира (Z)-2-[4-(4-бензоилоксибензилиден)-5-оксо-2-фенил-4,5-дигидро-1H-имидазол-1-ил]уксусной кислоты **25** ( $R_{\rm f}$  0.83) и метилового эфира (Z)-2-[4-

(4-гидроксибензилиден)-5-оксо-2-фенил-4,5-дигидро-1H-имидазол-1-ил]уксусной кислоты **16** ( $R_{\rm f}$  0.57) в соотношении 0.3:1 (схема 4, рис. S33–S41, см. Дополнительные материалы). Увеличение времени проведения реакции до 1.5 ч привело к образованию имидазолона **16** с выходом 88.6%.

Образование имидазолона **16** из пептида **24** под действием ГМДС может протекать по двум направлениям: через незащищенный пептид **7** (путь *a*) и через имидазолон **25** (путь *б*, схема 5). В связи с этим реакции пептидов **7** и **24** с ГМДС в соотношении 1:3 в ДМФА при 150°С изучали методом УФ спектрофотометрии. Отметим, что О-бензоилпептид **24** в УФ спектре имеет максимум поглощения при 282 нм (рис. S2, см. Дополнительные

# Схема 6.

### Схема 7.

материалы), в то время как пептид 7 поглощает при 309 нм (рис. S3), а имидазолон **16** – при 392 нм (рис. S4), в то время как имидазолон **25** имеет максимум поглощения при 368 и 373 нм (рис. S5).

Для установления пути образования имидазолона **16** из пептида **24** методом УФ спектроскопии изучена реакция пептида **24** и ГМДС (в соотношении 1:3) в ДМФА при нагревании при 150°С. Пробы, взятые через каждые 30 мин из реакционной смеси пептида **24** с ГМДС в ДМФА с последующим разбавлением этанолом, показывают, что уже через 30 мин пептид **24** превращается в пептид **7** (поглощение при 309 нм), одновременно наблюдается поглощение и увеличение интенсивности при 385 нм, что можно отнести к имидазолону **16** (рис. S6, см. Дополнительные материалы). Полученный результат свидетельствует о том, что об-

разование имидазолона **16** из О-бензоилзащищенного пептида **24**, в основном, протекает по пути a (схема 5).

Следует отметить, что в течение всего эксперимента не наблюдается какого-либо поглощения при 368 нм, характерного для имидазолона 25. Таким образом, можно предположить, что реакция циклизации пептида 24 в имидазолон 16 является тандемной и протекает через образование пептида 7.

В случае метилового эфира N,О-дибензо-ил-α,β-дегидротирозил-β-аланина **26** реакция дегидратации с участием ГМДС в течение как 30 мин, так и 1.5 ч приводит к образованию смеси. В последнем случае удалось из реакционной смеси выделить 2-фенил-5-(4-гидроксибензилиден)-4-имидазолон **27** с выходом 25.9% (схема 6). Образо-

16	Ингибирование, %				
№	DPPH*	AChE	BuChE		
5	88.1	0	33		
6	46.6	3.3	52.1		
15	5.0	11.3	42.6		
16	2.9	11.0	35.5		
17	43.1	46.9	35.5		
18	41.4	63.6	12.2		
19	12.7	62.2	79.1		
20	54.5	22.4	72.7		
21	36.7	19.0	44.8		
22	10.8	53.5	68.7		
23	41.2	41.4	76.4		
25	2.6	38.0	28.4		

**Таблица 1.** Антирадикальная и антихолинэстеразная активность пептидов 5, 6 и 4-имидазолонов 15–23

вание последнего можно объяснить термическим разложением метилового эфира 2-фенил-5-(4-гидроксибензилиден)-4-имидазолонпропионовой кислоты **19** по схеме 7.

Термогравиметрическое исследование синхронно с масс-спектроскопией соединения **19** по-казало наличие фрагмента  $CH_2$ =CHCO (m/z 55), что дает основание предполагать отрыв под воздействием высоких температур (в растворе ДМФА при 150°С и в твердом состоянии при 316°С) метилового эфира акриловой кислоты (рис. S8, см. Дополнительные материалы). Отметим, что аналогичное разложение 3-(4-имидазолон)пропионовых кислот было описано и в работах [3, 4].

Исследованы антирадикальные и антихолинэстеразные действия синтезированных соединений (табл. 1). Исследование антирадикальных свойств проводили с помощью их реакции со свободным стабильным радикалом 2,2'-дифенил-1-пикрилгидразилом (DPPH\*) в среде метанола при 25°С и соотношении реагентов 1:1. Измерения проводили спектрофотометрическим методом [9]. Для количественной оценки антирадикальной активности (APA, %) использовали формулу (1).

$$APA = \frac{A_0 - A_1}{A_0} \times 100, \tag{1}$$

где  $A_0$  — оптическая плотность раствора DPPH при отсутствии ингибитора;  $A_1$  — оптическая плотность раствора через 40 мин после добавления ингибитора.

В целом, данные, приведенные в табл. 1, показывают, что имидазолоны 15-23 обладают от слабой до средней (2-54%) антирадикальной активностью. Из них сравнительно высокую антирадикальную активность проявляет метиловый эфир (Z)-3-[4-(4-гидрокси-3-метоксибензилиден)-5-оксо-2-фенил-4,5-дигидро-1*H*-имидазол-1-ил]пропионовой кислоты 20. Надо отметить, что введение в положение 3 бензилиденового фрагмента имидазолона метокси- (соединения 17, 20, 23) или этоксигруппы (соединения 18, 21) приводит к возрастанию ингибиторных свойств по отношению к стабильному радикалу DPPH. Аналогичное влияние метоксигруппы наблюдается также при сопоставлении данных ингибирования DPPH пептидов 5 и 6.

Антихолинэстеразные свойства пептидов 5, 6 и имидазолонов 15-23 исследовали в отношении как ацетил- (AChE), так и бутирилхолинестеразы (BuChE). Данные, приведенные в табл. 1, показывают, что имидазолоны 15-23 ингибируют как AChE, так и BuChE. Из них сравнительно высокую антихолинэстеразную активность проявляет метиловый эфир (Z)-2-[4-(3-этокси-4-гидроксибензилиден)-5-оксо-2-фенил-4,5-дигидро-1*H*-имидазол-1-ил]уксусной кислоты 18. В случае BuChE сравнительно высокая активность наблюдается у метилового эфира (Z)-3-[4-(4-гидроксибензилиден]-5-оксо-2-фенил-4,5-дигидро-1*H*-имидазол-1-ил) пропионовой кислоты 19. Введение в положение 3 бензилиденового остатка метокси-(соединения 17, 20, 23) и этоксигрупп (соединения 18, 21) в зависимости от кислотного остатка (уксусная, пропионовая или 3-метилбутановая кислота) в положение 3 имидазолона влияет по-разному. Так, в случае имидазолонов 3-замещенной уксусной кислоты (16-18) с введением алкоксигруппы антихолинэстеразная активность возрастает, тогда как в случае аналогов с пропионовой (19-21) или 3-метилбутановой кислот (22, 23) наблюдается обратная картина. Полученные данные показывают, что при введении алкоксизаместителей наблюдается уменьшение активности у имидазолонов с

пропионовой кислотой в положении 3 гетероцикла (19–21) и увеличение активности с остатками уксусной (16–18) и 3-метилбутановой кислот (22, 23). Надо отметить, что имидазолон 20 обладает сравнительно хорошими ингибирующими свойствами как по отношению DPPH\*, так и BuChE. Сопоставлением данных для имидазолонов 16 и 25 можно заключить, что бензоилирование гидроксильной группы 4-гидроксибензилиденового фрагмента имидазолона 16 имеет ощутимое влияние только на антиацетилхолинэстеразные свойства.

На основе дескрипторов, используемых платформами SwissADME [10] и ADMETsar [11], pacсчитаны значения физико-химических и фармакокинетических параметров: получены значения молекулярных масс, которые варьируются в пределах 336-474 г/моль; число доноров и акцепторов водородных связей: у соединений 5 и 6 рассчитано 3 донора, 5 и 6 акцепторов соответственно, по 1 донору и 5 акцепторов имеют соединения 16, 19, 22, по 1 донору и 6 акцепторов для соединений 17, **18**, **20**, **21**, **23**. Для предсказания биоактивности рассчитаны значения топологической площади полярной поверхности молекулы: TPSA-El 113.96 и 104.73 (5 и 6), 79.20 (16, 19, 22), 88.43 (17, 18, 20, 21, 23) и 85.27 (27). Также рассчитаны значения липофильности молекул, которые варьируются в пределах  $Log P_{o/w} 2.34-3.90$ .

Рассчитанные фармакокинетические значения соединений свидетельствуют о том, что показатель всасываемости через желудочно-кишечный тракт на основе метода оценки проницаемости Эгана [12] имеет высокое значение для всех исследуемых соединений, однако, исследуемые соединения показали отрицательный результат при переходе через гематоэнцефалический барьер. Был рассчитан коэффициент проницаемости через кожу  $(\text{Log}K_p)$ , который варьируется в пределах  $-5.72 \div -6.77$  см/с.

Установлено, что данные соединения соответствуют «правилу пяти» Липински [13], расчеты значений биодоступности составили 0.55 по шкале Abbot (ABS) [14]. С точки зрения соответствия исследуемых соединений в качестве «соединения лидера», был выявлен отрицательный результат.

Для полной оценки биоактивности была определена возможная токсичность соединений. Все соединения показали отрицательный результат по

оценке мутагенности и канцерогенности, а также не проявили раздражающего эффекта на кожу и глаза. При этом все они показывают умеренную гепатотоксичность и имеют острую оральную токсичность.

Были рассчитаны также значения экотоксичности, в результате чего показано, что все исследуемые соединения имеют высокое значение коэффициента биоразложения и не являются пестицидами. Все они могут являться токсичными для рыб, но не проявляют токсичность к ракообразным, кроме соединения 23.

Окончательные расчеты молекулярного докинга показали, что все исследуемые соединения находятся в активных центрах обоих ферментов — ацетилхолинэстеразы и бутирилхолинэстеразы. Отмечены типы взаимодействий ферментов с исследуемыми соединениями: в основном преобладает электростатический тип взаимодействия, отмечены гидрофобные взаимодействия с аминокислотными остатками, формирующими активный центр фермента, также наблюдаются водородные связи при взаимодействии. Длина водородные связи при взаимодействии. Длина водородной связи не превышает 3.4 Å (рис. S9–20, см. Дополнительные материалы).

Нециклические пептиды **5** и **6** имеют взаимодейстия с аминокислотными остатками, находящимися в активном центре ацетилхолинэстеразы. Так, пептид **6** взаимодействует с Asp74, Phe297, Phe338, Ser125, Trp286 гидрофобными связями, а с Trp86 и Tyr124 — водородными связями. Соединение **5** связывается с Trp86, Tyr72 также гидрофобными связами, а с Ser293 связь водородная.

Имидазолоны также взаимодействуют с аминокислотами в активном центре фермента, кроме соединения **16**, которое не показало комплексообразования. Возможно, по причине очень слабой активности взаимодействие данного соединения и фермента не зафиксировалось.

Выделено несколько основных аминокислот, с которыми все исследуемые соединения показали взаимодействие. Так, с Туг337 водородными связями связываются практически все соединения, кроме имидазолонов 17 и 20. С Туг124 имеют взаимодейстие имидазолоны 18, 21, 23, а соединения 19 и 22 связываются водородными связями. Также практически все соединения связываются с

**Таблица 2.** Рассчитанные значения биофизических параметров<sup>а</sup>

	AChE		BuChE	
No	$\Delta G,$ ккал/моль	$K_{ m c},$ моль $^{-1}$	$\Delta G,$ ккал/моль	$K_{ m c},$ моль $^{-1}$
5	-7.78	5×10 <sup>5</sup>	-9.63	1×10 <sup>7</sup>
6	-7.90	$6 \times 10^{5}$	-9.53	9×10 <sup>6</sup>
15	-8.0	$7 \times 10^{5}$	-9.87	2×10 <sup>7</sup>
16	_	_	-8.34	1×10 <sup>6</sup>
17	-7.33	2×10 <sup>5</sup>	-8.31	1×10 <sup>6</sup>
18	-7.65	$4 \times 10^{5}$	-8.46	1×10 <sup>6</sup>
19	-7.23	$2 \times 10^{5}$	8.43	1×10 <sup>6</sup>
20	-7.20	$2 \times 10^{5}$	-8.26	1×10 <sup>6</sup>
21	-7.61	4×10 <sup>5</sup>	-8.38	1×10 <sup>6</sup>
22	-7.03	1×10 <sup>5</sup>	-8.67	2×10 <sup>6</sup>
23	-6.81	$9 \times 10^{4}$	-8.74	2×10 <sup>6</sup>
25	-8.90	$3 \times 10^{6}$	-9.20	5×10 <sup>6</sup>

 $<sup>{}^{</sup>a}\Delta G$  — энергия связывания,  $K_{c}$  — константа связывания.

# Тгр286, кроме имидазолона 19.

Комплексообразование с бутирилхолинэстеразой показало прочные взаимодействия. Так, у нециклических пептидов 5 и 6 имеются гидрофобные и статические взаимодействия с Ala328, Gly116, Gly117, Leu286, Phe329, Trp231, Trp82, Tyr332. Соединение 6 связывается водородной связью с Ser287. Имидазолоны также взаимодействуют с вышеперечисленными аминокислотными остатками. Надо отметить, что с Leu286 водородными связями связываются имидазолоны 16, 19, 20. Рассчитаные биофизические параметры связывания представлены в табл. 2.

Таким образом, осуществлен синтез 2,3,5-тризамещенных 4*H*-имидазол-4-онов, производных хромофора зеленого флуоресцентного белка, проявляющих как антирадикальные, так и антихолинэстеразные свойства. Дальнейшие исследования в этом направлении могут привести к высокоэффективным соединениям, обладающим одновременно антирадикальными и антихолинэстеразными свойствами, что может найти применение при создании лекарств для лечения болезни Альцгеймера.

## ЭКСПЕРИМЕНТАЛЬНАЯ ЧАСТЬ

Температуры плавления измерены на приборе Boetius (Германия). ИК спектры сняты в вазелиновом масле на спектрометре Specord M-80. Спектры ЯМР <sup>1</sup>Н и <sup>13</sup>С сняты на спектрометре Mercury-300 (300 МГц) в ДМСО-*d*<sub>6</sub>–ССl<sub>4</sub> (1:3). Элементный анализ выполнен на анализаторе EuroEA3000CHNS-O. Определение чистоты полученных соединений осуществлено методом ТСХ на пластинках AlugramXtraSILG/UV в системе растворителей С<sub>6</sub>Н<sub>6</sub>-МеОН (5:2), проявление УФ светом. Термогравиметрия выполнена на синхронном термоанализаторе STA449F3 Jupiter, совмещенном с масс-спектрометром QMS 403 Quadro Aeolos. УФ спектры сняты на спектрофотометре Agilent Cary100 UV/Vis. Термогравиметрические измерения проводили в атмосфере азота. Начальная температура составляла 40°C, температуру повышали со скоростью 10 К/мин, финальная тепмература – 500°C. Использовали открытые тигли  $Al_2O_3$  с объемом 85 мкл.

Ненасыщенные 5(4H)-оксазолоны 1, 2 синтезированы аналогично методу, описанному в работе [15]. Гидрохлориды метиловых эфиров аминокислот 3, 4 получены по методу [16]. Метиловые эфиры (Z)-N-бензоил- $\alpha$ , $\beta$ -дегидротирозинсодержащих дипептидов 9–14, 24 синтезированы по методу, описанному в работе [8].

Синтез метиловых эфиров (Z)-N-бензоила, β-дегидротирозинсодержащих дипептидов 5, 6. К раствору 1.26 ммоль соответствующего 5-(4*H*)-оксазолона **1**, **2** в 25 мл ацетонитрила добавляли 1.64 ммоль гидрохлорида метилового эфира аминокислоты (глицина или фенилаланина) и 0.29 мл (0.165 г, 1.64 ммоль) триэтиламина. Реакционную смесь кипятили 2-5 ч, после чего добавляли 0.32 мл (0.25 г, 2.52 ммоль) N,N-диметилпропан-1,3-диамина и продолжали кипячение в течение 2-4 ч. К реакционной смеси добавляли 50 мл воды и водный раствор подкисляли до рН ≈ 3, выпавший осадок отфильтровывали и сушили на воздухе, затем перекристаллизовывали из 50%ного водного этанола.

Метиловый эфир (*Z*)-N-бензоиламино-  $\alpha$ , $\beta$ -дегидро-3-метокситирозилфенилаланина(**5**). Выход 80.7%, т. пл. 140–146°С,  $R_{\rm f}$  0.65. ИК спектр,  $\nu$ , см<sup>-1</sup>: 3255 (NH), 3388 (OH), 1739 (CO, эфир), 1643 (СО, амид). Спектр ЯМР  $^{1}$ Н,  $\delta$ , м. д.: 3.08 д (2H, CH<sub>2</sub>, J 6.8 Гц), 3.57 с (3H, ОСН<sub>3</sub>), 3.67 с (3H, ОСН<sub>3</sub>), 4.66 к (1H, CH, J 7.0 Гц), 6.69–6.75 м (1H, C<sub>6</sub>H<sub>3</sub>), 6.93–7.00 м (1H, C<sub>6</sub>H<sub>3</sub>), 7.10–7.23 м (7H, C<sub>6</sub>H<sub>5</sub>, C<sub>6</sub>H<sub>3</sub>, CH=C), 7.42–7.57 м (3H, C<sub>6</sub>H<sub>5</sub>), 7.75 д (1H, NH, J 7.8 Гц), 8.04–8.11 м (2H,C<sub>6</sub>H<sub>5</sub>), 8.88 с (1H, OH), 9.67 с (1H, NH). Найдено, %: С 68.76, H5.14; N 5.61. С<sub>27</sub>H<sub>26</sub>N<sub>2</sub>O<sub>6</sub>. Вычислено, %: С 68.34; H 5.52; N 5.90.

Метиловый эфир (*Z*)-N-бензоиламино- α,β-дегидротирозилфенилаланина (6). Выход 79.3%, т. пл. 100–102°С,  $R_{\rm f}$  0.67. ИК спектр, ν, см<sup>-1</sup>: 3235 (ОН, NН), 1738 (СО, эфир), 1646 (СО, амид). Спектр ЯМР  $^{1}$ Н,  $\delta$ , м. д.: 3.0 д (2H, CH<sub>2</sub>, *J* 6.7 Гц), 3.67 с (3H, OCH<sub>3</sub>), 4.66 к (1H, CH, *J* 5.7 Гц), 6.68–6.76 м (2H, C<sub>6</sub>H<sub>4</sub>), 7.09–7.21 м (6H, C<sub>6</sub>H<sub>5</sub>, CH=C), 7.36–7.44 м (2H, C<sub>6</sub>H<sub>4</sub>), 7.45–7.58 м (3H, C<sub>6</sub>H<sub>5</sub>), 7.74 д (1H, NH, *J* 8.6 Гц), 8.00–8.07 м (2H, C<sub>6</sub>H<sub>5</sub>), 9.46 с (1H, NH), 9.65 с (1H, OH). Найдено, %: С 70.59; H 5.04; N 5.98.  $C_{26}H_{24}N_2O_5$ . Вычислено, %: С 70.26; H 5.44; N 6.30.

**Метиловый эфир (Z)-N-бензоиламино-α,β-**дегидротирозилглицина (7). Выход 78.7%, т. пл. 142–144°С,  $R_{\rm f}$  0.56. ИК спектр, v, см<sup>-1</sup>: 3565 (ОН), 3255 (NH), 1749 (СО, эфир), 1644 (СО, амид). Спектр ЯМР  $^{1}$ H,  $\delta$ , м. д.: 3.69 с (3H,ОСН<sub>3</sub>), 3.92 д (2H, NCH<sub>2</sub>, J 5.9  $\Gamma$ ц), 6.69–6.75 м (2H,  $C_{\rm 6}$ H<sub>4</sub>), 7.26 с (1H, CH=C), 7.36–7.42 м (2H, $C_{\rm 6}$ H<sub>4</sub>), 7.43–7.57 м (3H,  $C_{\rm 6}$ H<sub>5</sub>), 7.98–8.13 м (3H, $C_{\rm 6}$ H<sub>5</sub>, NH), 9.45 с (1H, OH), 9.68 с (1H, NH). Спектр ЯМР  $^{13}$ С,  $\delta$ <sub>С</sub>, м. д.: 51.0, 115.1, 124.6, 125.8, 127.6,127.8, 130.8, 130.9, 133.7, 158.1, 165.3, 165.4, 169.8. Найдено, %: С 64.69; H 4.86; N 8.01.  $C_{\rm 19}$ H<sub>18</sub>N<sub>2</sub>O<sub>5</sub>. Вычислено, %: С 64.40; H 5.12; N 7.91.

Метиловый эфир (*Z*)-N-бензоиламино- α,β-дегидро-3-метокситирозилглицина (*8*). Выход 83.3%, т. пл. 158–160°С,  $R_{\rm f}$  0.68. ИК спектр, v, см<sup>-1</sup>: 3349 (ОН), 3310 (NH), 1717 (СО, эфир), 1670 (СО, амид). Спектр ЯМР <sup>1</sup>H,  $\delta$ , м. д.: 3.54 с (3H, ОСН<sub>3</sub>), 3.70 с (3H, ОСН<sub>3</sub>), 3.93 д (2H, NСН<sub>2</sub>, *J* 5.7 Гц), 6.69–6.77 м (1H, C<sub>6</sub>H<sub>3</sub>), 6.93–7.02 м (1H, C<sub>6</sub>H<sub>3</sub>), 7.17–7.23 м (1H, C<sub>6</sub>H<sub>3</sub>), 7.31 с (1H,CH=C), 7.41–7.58 м (3H, C<sub>6</sub>H<sub>5</sub>), 8.04–8.21 м (3H, C<sub>6</sub>H<sub>5</sub>, NH), 8.92 с (1H, OH), 9.74 с (1H, NH). Найдено, %: С 62.11; H5.64; N 6.95. C<sub>20</sub>H<sub>22</sub>N<sub>2</sub>O<sub>6</sub>. Вычислено, %: С 62.49; H 5.24; N 7.29.

**Синтез имидазолонов 15–23**. К раствору 1.2 ммоль соответствующего N-бензоилдипепти-

да **6–14** в 5 мл ДМФА добавляли 1 мл (0.76 г, 4.8 ммоль) ГМДС. Полученную смесь кипятили 10–25 мин. После охлаждения добавляли 50 мл разбавленного водного раствора соляной кислоты (рН  $\approx$  4.0). Образовавшийся осадок отфильтровывали, промывали водой до нейтрального значения рН и сушили на воздухе.

Метиловый эфир (*Z*)-2-[4-(4гидроксибензилиден)-5-оксо-2-фенил-4,5-дигидро-1*H*-имидазол-1-ил]-3-фенилпропионовой кислоты (15). Выход 93.3%, т. пл. 92–94°С,  $R_{\rm f}$  0.72. ИК спектр, v, см $^{-1}$ : 1684 (СО, цикл), 1747 (СО, эфир), 3335 (ОН). Спектр ЯМР  $^{1}$ H,  $\delta$ , м. д.: 3.37 т. т (1H, CH,  $J_{1}$  15.8,  $J_{2}$  12.3 Гц), 3.78 с (3H, ОСН<sub>3</sub>), 4.70 д. д (2H, CH<sub>2</sub>,  $J_{1}$  4.4,  $J_{2}$  4.1 Гц), 6.74–6.82 м (2H,  $C_{6}$ H<sub>4</sub>), 6.86–6.95 м (2H,  $C_{6}$ H<sub>5</sub>), 6.97–7.49 м (9H,  $C_{6}$ H<sub>5</sub>, CH=C), 7.99–8.09 м (2H,  $C_{6}$ H<sub>4</sub>), 9.82 с (1H, OH). Спектр ЯМР  $^{13}$ С,  $\delta$ С, м. д.:33.5, 52.1, 56.9, 115.5, 124.9, 126.2, 127.8, 128.0, 128.6, 128.7, 128.9, 129.9, 134.4, 134.9, 136.5, 159.7,160.1, 168.4, 169.7. Найдено, %: С 72.73; Н 5.60; N 6.27.  $C_{26}$ H<sub>22</sub>N<sub>2</sub>O<sub>4</sub>. Вычислено, %: С 73.23; H 5.20; N 6.57.

Метиловый эфир (*Z*)-2-[4-(4-гидроксибензилиден)-5-оксо-2-фенил-4,5-дигидро-1*H*-имидазол-1-ил]уксусной кислоты (16). Выход 81%, т. пл. 206–208°С,  $R_{\rm f}$  0.63. ИК спектр,  $\nu$ , см<sup>-1</sup>: 1694 (СО, цикл), 1746 (СО, эфир), 3332 (ОН). Спектр ЯМР  $^{1}$ H,  $\delta$ , м. д.: 3.67 с (3H, ОСН<sub>3</sub>), 4.48 с (2H, СН-2СО), 6.78–6.87 м (2H,  $C_{\rm 6}$ H<sub>4</sub>), 7.09 с (1H, CH=C), 7.47–7.60 м (3H,  $C_{\rm 6}$ H<sub>5</sub>), 7.69–7.79 м (2H,  $C_{\rm 6}$ H<sub>5</sub>), 8.06–8.17 м (2H,  $C_{\rm 6}$ H<sub>4</sub>), 9.83 с (1H, OH). Спектр ЯМР  $^{13}$ С,  $\delta$ <sub>C</sub>, м. д.: 38.7, 38.9, 51.8, 115.5, 124.9, 127.8, 128.3, 128.9, 129.1, 130.4, 134.3, 135.0, 158.9, 160.1, 167.7, 169.6. Найдено, %: С 67.97; H 5.04; N 8.63.  $C_{\rm 19}$ H<sub>16</sub>N<sub>2</sub>O<sub>4</sub>. Вычислено, %: С 67.85; H 4.80; N 8.33.

Метиловый эфир (*Z*)-2-[4-(4-гидрокси-3-метоксибензилиден)-5-оксо-2-фенил-4,5-дигидро-1*Н*-имидазол-1-ил]уксусной кислоты (17). Выход 83.3%, т. пл. 158–160°С,  $R_{\rm f}$  0.68. ИК спектр, v, см<sup>-1</sup>: 1709 (СО, цикл), 1748 (СО, эфир), 3508 (ОН). Спектр ЯМР <sup>1</sup>H,  $\delta$ , м. д.: 3.69 с (3H, ОСН<sub>3</sub>), 3.88 с (3H, ОСН<sub>3</sub>), 4.51 с (2H, CH<sub>2</sub>), 6.79–6.85 м (1H, C<sub>6</sub>H<sub>3</sub>), 7.09 с (1H, CH=C), 7.48–7.62 м (4H, C<sub>6</sub>H<sub>3</sub>, C<sub>6</sub>H<sub>5</sub>), 7.71–7.78 м (2H, C<sub>6</sub>H<sub>5</sub>), 8.07–8.11 м (1H, C<sub>6</sub>H<sub>3</sub>), 9.35 с (1H, ОН). Спектр ЯМР <sup>13</sup>С,  $\delta$ С, м. д.: 42.3, 51.8, 55.1, 115.3, 115.4, 125.5, 127.4, 127.7, 128.3, 129.1, 130.5, 135.1, 147.3, 149.9, 158.8,

167.7, 169.6. Найдено, %: С 65.71; Н 5.11; N 7.96. С<sub>20</sub>H<sub>18</sub>N<sub>2</sub>O<sub>5</sub>. Вычислено, %: С 65.57; Н 4.95; N 7.65.

Метиловый (Z)-2-[4-(3-этокси-4эфир гидроксибензилиден)-5-оксо-2-фенил-4,5-дигидро-1Н-имидазол-1-ил]уксусной кислоты (18). Выход 83%, т. пл. 157–160°С, R<sub>f</sub> 0.69. ИК спектр, v, см<sup>-1</sup>: 1698 (СО, цикл), 1741 (СО, эфир), 3296 (ОН). Спектр ЯМР <sup>1</sup>Н, δ, м. д.: 1.45 т (3H, CH<sub>3</sub>, J 6.9 Гц), 3.69 с (3H, OCH<sub>3</sub>), 4.12 к (2H, OCH<sub>2</sub>, J 7.0 Гц), 4.51 с (2H, CH<sub>2</sub>), 6.80–6.86 м (1H, C<sub>6</sub>H<sub>3</sub>), 7.08 c (1H, CH=C), 7.49–7.61 m (4H,  $C_6H_3$ ,  $C_6H_5$ ),  $7.71-7.7 \text{ M} (2H, C_6H_5), 8.03-8.07 \text{ M} (1H, C_6H_3), 9.26$ с (1H, OH). Спектр ЯМР <sup>13</sup>С, δ<sub>С</sub>, м. д.:14.4, 42.3, 51.8, 63.6, 115.3, 116.7, 125.5, 127.4, 127.7, 128.3, 129.2, 130.5, 135.1, 146.4, 150.2, 158.8, 167.7, 169.6. Найдено, %: С 66.62; Н 5.70; N 6.95. С<sub>21</sub>H<sub>20</sub>N<sub>2</sub>O<sub>5</sub>. Вычислено, %: С 66.31; Н 5.30; N 7.36.

**Метиловый эфир (***Z***)-3-[4-(4-гидроксибензилиден)-5-оксо-2-фенил-4,5-дигидро-1***H***-имида-3ол-1-ил]пропионовой кислоты (19).** Выход 94%, т. пл. 80–83°С,  $R_{\rm f}$  0.67. ИК спектр, v, см<sup>-1</sup>: 1690 (СО, цикл), 1734 (СО, эфир), 3467 (ОН). Спектр ЯМР  $^{1}$ Н,  $\delta$ , м. д.: 2.61 т (2H, CH<sub>2</sub>, J 7.6 Гц), 3.57 с (3H, OCH<sub>3</sub>), 3.99 т (2H, CH<sub>2</sub>, J 7.2 Гц), 6.77–6.84 м (2H, C<sub>6</sub>H<sub>4</sub>), 7.03 с (1H, CH=C), 7.51–7.59 м (3H, C<sub>6</sub>H<sub>5</sub>), 7.76–7.83 м (2H, C<sub>6</sub>H<sub>5</sub>), 8.05–8.11 м (2H, C<sub>6</sub>H<sub>4</sub>), 9.79 с (1H, OH). Спектр ЯМР  $^{13}$ С,  $\delta$ <sub>C</sub>, м. д.: 32.2, 37.1, 50.9, 115.5, 125.1, 127.9, 128.2, 128.4, 129.4, 130.3, 134.2, 135.5, 159.5, 160.0, 169.8, 170.1. Найдено, %: C 68.74; H 5.41; N 7.78. C<sub>20</sub>H<sub>18</sub>N<sub>2</sub>O<sub>4</sub>. Вычислено, %: C 68.56; H 5.18; N 8.00.

Метиловый эфир (*Z*)-3-[4-(4-гидрокси-3-метоксибензилиден)-5-оксо-2-фенил-4,5-дигидро-1*H*-имидазол-1-ил]пропионовой кислоты (*20*). Выход 70.2%, т. пл. 163–165°С,  $R_{\rm f}$  0.70. ИК спектр, v, см<sup>-1</sup>: 1706 (СО, цикл), 1724 (СО, эфир), 3460 (ОН). Спектр ЯМР <sup>1</sup>H,  $\delta$ , м. д.: 2.62 т (2H, CH<sub>2</sub>, *J* 7.4 Гц), 3.57 с (3H, ОСН<sub>3</sub>), 3.86 с (3H, ОСН<sub>3</sub>), 4.01 т (2H, CH<sub>2</sub>, *J* 7.4 Гц), 6.78–6.84 м (1H, C<sub>6</sub>H<sub>3</sub>), 7.04 с (1H, CH=C), 7.52–7.59 м (4H, C<sub>6</sub>H<sub>3</sub>, C<sub>6</sub>H<sub>5</sub>), 7.78–7.83 м (2H, C<sub>6</sub>H<sub>5</sub>), 8.03–8.06 м (1H, C<sub>6</sub>H<sub>3</sub>), 9.31 с (1H, OH). Спектр ЯМР <sup>13</sup>С,  $\delta$ <sub>C</sub>, м. д.: 32.2, 37.1, 50.9, 55.1, 115.3, 115.4, 125.5, 127.3, 127.8, 128.3, 128.5, 129.5, 130.3, 135.5, 147.3, 149.8, 159.3, 169.8, 170.0. Найдено, %: С 66.00; H 5.69; N 7.09. C<sub>21</sub>H<sub>20</sub>N<sub>2</sub>O<sub>5</sub>. Вычислено, %: С 66.31; H 5.30; N 7.36.

Метиловый эфир (Z)-3-[4-(3-этокси-4-гидроксибензилиден)-5-оксо-2-фенил-4,5-дигидро-1*H*-имидазол-1-ил|пропаноат (21). Выход 78.9%, т. пл. 120–122°С,  $R_{\rm f}$  0.67. ИК спектр, v, см<sup>-1</sup>: 1690 (СО, цикл), 1737 (СО, эфир), 3335 (ОН). Спектр ЯМР <sup>1</sup>H,  $\delta$ , м. д.: 1.44 т (3H, CH<sub>3</sub>, J 7.0 Гц), 2.62 т (2H, CH<sub>2</sub>, J 7.6 Гц), 3.57 с (3H, ОСН<sub>3</sub>), 4.00 т (2H, CH<sub>2</sub>, J 7.4 Гц), 4.10 к (2H, ОСН<sub>2</sub>, J 7.0 Гц), 6.78–6.85 м (1H, C<sub>6</sub>H<sub>3</sub>), 7.02 с (1H, CH=C), 7.50–7.60 м (4H, C<sub>6</sub>H<sub>3</sub>, C<sub>6</sub>H<sub>5</sub>), 7.75–7.83 м (2H, C<sub>6</sub>H<sub>5</sub>), 7.99–8.04 м (1H, C<sub>6</sub>H<sub>3</sub>), 9.20 с (1H, OH). Спектр ЯМР <sup>13</sup>С,  $\delta$ <sub>C</sub>, м. д.: 14.4, 32.2, 37.1, 38.7, 40.3, 41.1, 50.9, 63.5, 115.3, 116.6, 125.5, 127.2, 127.8, 128.2, 128.6, 129.5, 130.3, 135.5, 146.4, 149.9, 159.3, 169.8, 169.9. Найдено, %: С 66.49; H 5.12; N 6.60. С<sub>22</sub>H<sub>22</sub>N<sub>2</sub>O<sub>5</sub>. Вычислено, %: С 66.99; H 5.62; N 7.10.

Метиловый эфир (*Z*)-2-[4-(4-гидроксибензилиден)-5-оксо-2-фенил-4,5-дигидро-1*H*-имида-3ол-1-ил]-3-метилбутаноат (22). Выход 65.8%, т. пл. 80–83°С,  $R_{\rm f}$  0.68. ИК спектр, v, см $^{-1}$ : 1708 (СО, цикл), 1751 (СО, эфир), 3332 (ОН). Спектр ЯМР  $^{1}$ Н,  $\delta$ , м. д.: 0.75 д (3H, CH $_{3}$ , *J* 7.0 Гц), 0.99 д (3H, CH $_{3}$ , *J* 6.5 Гц), 2.61 м (1H, CH), 3.71 с (3H, ОСН $_{3}$ ), 4.19 д (1H, CH, *J* 9.4 Гц), 6.77–6.84 м (2H, C $_{6}$ H $_{4}$ ), 7.04 с (1H, CH=C), 7.49–7.59 м (3H, C $_{6}$ H $_{4}$ ), 7.04 с (1H, CH=C), 7.49–7.59 м (2H, C $_{6}$ H $_{4}$ ), 9.81 с (1H, OH). Спектр ЯМР  $^{13}$ С,  $\delta$ <sub>С</sub>, м. д.: 18.9, 20.7, 27.4, 51.7, 60.5, 115.5, 124.9, 128.1, 128.3, 129.2, 129.4, 130.3, 134.3, 134.6, 159.8, 160.2, 168.3, 169.4. Найдено, %: С 66.95; H 6.48; N 7.21. С $_{22}$ H $_{22}$ N $_{2}$ О $_{4}$ . Вычислено, %: С 66.83; H 5.86; N 7.40.

Метиловый эфир (Z)-2-[4-(4-гидрокси-3метоксибензилиден)-5-оксо-2-фенил-4,5-дигидро-1*H*-имидазол-1-ил]-3-метилбутаноат (23). Выход 40.8%, т. пл. 73–75°С, R<sub>f</sub> 0.68. ИК спектр, v, cм<sup>-1</sup>: 1708 (СО, цикл), 1751 (СО, эфир), 3432 (ОН). Спектр ЯМР <sup>1</sup>Н, δ, м. д.: 0.75 д (3H, CH<sub>3</sub>, J 6.8 Гц), 1.00 д (3Н, СН<sub>3</sub>, *J* 6.5 Гц), 2.63 м (1Н, СН), 3.71 c (3H, OCH<sub>3</sub>), 3.85 c (3H, OCH<sub>3</sub>), 4.21 д (1H, CH, J 9.5  $\Gamma$ ц), 6.78–6.84 м (1H,  $C_6H_3$ ), 7.04 с (1H, CH=C), 7.51-7.60 m (4H,  $C_6H_3$ ,  $C_6H_5$ ), 7.63-7.70 m $(2H, C_6H_5)$ , 8.00–8.05 m  $(1H, C_6H_3)$ , 9.35c (1H, OH). Спектр ЯМР  $^{13}$ С,  $\delta_{\rm C}$ , м. д.: 18.9, 20.7, 27.4, 51.7, 55.2, 60.5, 115.3, 115.5, 125.4, 127.5, 128.0, 128.3 129.4, 129.5, 130.3, 134.7, 147.3, 150.0, 159.8, 168.3, 169.4. Найдено, %: С 67.80; Н 5.69; N 6.47. С<sub>23</sub>H<sub>24</sub>N<sub>2</sub>O<sub>5</sub>. Вычислено, %: С 67.63; Н 5.92; N 6.86.

(Z)-4-{[1-(2-Метокси-2-оксоэтил)-5-оксо-2-фенил-1,5-дигидро-4*H*-имидазол-4-илиден]-метил}фенилбензоат (25). К раствору 1.1 ммоль

пептида 24 в 7 мл ДМФА добавляли 0.69 мл (0.53 г. 3.3 ммоль)1,1,1,3,3,3-гексаметилдисилазана. Реакционную смесь кипятили 10 мин. затем добавляли 30 мл воды и водный раствор подкисляли до р $H \approx$ 3. Выпавший осадок отфильтровывали и сушили на воздухе, затем перекристаллизовывали из этанола. Выход 37.5%, т. пл. 157–159°С, R<sub>f</sub> 0.83. ИК спектр, v, см<sup>-1</sup>: 1712 и 1736 (СО, эфир). Спектр ЯМР <sup>1</sup>Н. δ. м. д.: 3.69 с (3H. ОСН<sub>3</sub>), 4.53 с (2H. CH<sub>2</sub>), 7.21 c (1H, CH=C), 7.28–7.34 m (2H, C<sub>6</sub>H<sub>4</sub>), 7.50-7.80 M (8H,  $C_6H_5$ ), 8.13-8.19 M (2H,  $C_6H_5$ ), 8.35-8.39 м (2H,  $C_6H_4$ ). Спектр ЯМР  $^{13}$ С,  $\delta_C$ , м. д.: 42.4, 51.9, 121.5, 126.8, 127.9, 128.1, 128.4, 128.7, 128.8, 129.6, 130.9, 131.5, 133.2, 133.3, 137.8, 151.8, 161.3, 163.4, 167.5, 169.7. Найдено, %: С 70.40; Н 4.98; N 6.66. С<sub>26</sub>Н<sub>20</sub>N<sub>2</sub>О<sub>5</sub>. Вычислено, %: С 70.90; H 4.58; N 6.36.

(Z)-5-(4-Гидроксибензилиден)-2-фенил-**3,5-дигидро-4***H***-имидазол-4-он (27).** К раствору 0.64 ммоль пептида 26 в 5 мл ДМФА добавляли 0.54 мл (0.41 г, 2.56 ммоль) 1,1,1,3,3,3-гексаметилдисилазана. Реакционную смесь кипятили 1.5 ч. К реакционной смеси добавляли 30 мл воды и водный раствор подкисляли до рН ≈ 3. Выпавший осадок отфильтровывали и сушили на воздухе. Выход 26%, т. пл. 297–300°С, R<sub>f</sub> 0.85. ИК спектр, v, см<sup>-1</sup>: 1698 (СО, цикл), 3335 (NH), 3509 (ОН). СпектрЯМР <sup>1</sup>Н, δ, м. д.: 6.79–6.86 м (2Н,  $C_6H_4$ ), 6.88 c (1H, CH=C), 7.41–7.54 m (3H,  $C_6H_5$ ),  $8.05-8.21 \text{ m} (4\text{H}, \text{C}_6\text{H}_4, \text{C}_6\text{H}_5), 9.71 \text{ c} (1\text{H}, \text{NH}), 11.74$ с (1H, OH). Спектр ЯМР <sup>13</sup>С,  $\delta_C$ , м. д.: 115.5, 125.5, 125.9, 126.9,128.1, 128.5, 130.9, 133.9, 137.8, 158.2, 159.5, 171.8. Найдено, %: С 73.22; Н 5.08; N 10.10. C<sub>16</sub>H<sub>12</sub>N<sub>2</sub>O<sub>2</sub>. Вычислено, %: С 72.72; Н 4.58; N 10.60.

Антирадикальные свойства соединений определяли по методу, описанному в работе [3].

Антихолинэстеразные свойства синтезированных соединений определяли методом, описанным в работе [9]. В исследованиях применяли эритроцитарную ацетилхолинэстеразу и плазменную бутирилхолинэстеразу человека. Измерения проводили в термостатируемой ячейке спектрофотометра Specord UV-Vis при 412 нм. В опытах реакционная среда в 2.5 мл конечного объема содержала реагенты в следующих количествах: дистиллированная вода — 1.25 мл, фосфатный буфер 0.1 М. — 1 мл (рН 7.6±0.1), 5,5'-дитиоб-

ис(2-нитробензойная кислота)  $0.005~\mathrm{M.}-0.02~\mathrm{M}$ л, ацетилтиохолин  $0.005~\mathrm{M.}-0.005~\mathrm{M}$ л, соответствующий фермент  $-0.01~\mathrm{m}$ л, и исследуемое вещество  $0.01~\mathrm{M.}$  (в ДМСО)  $-0.02~\mathrm{m}$ л. Для контрольных опытов раствор, содержащий фермент и 5,5'-дитиобис(2-нитробензойная кислоту), инкубировали  $10~\mathrm{m}$ и при  $25^{\circ}$ С, измеряли поглощение, после чего добавляли ацетилтиохолин. Смесь инкубировали  $20~\mathrm{m}$ и при  $25^{\circ}$ С и повторно измеряли поглощение раствора. Тестовые опыты проводили аналогично, изначально в присутствии исследуемого соединения. Ингибирующую активность соединения (%) определяли по формуле (2).

Ингибирование = 
$$\frac{\text{Конт} - \text{Тест}}{\text{Конт}} \times 100,$$
 (2)

где Конт – значение поглощения измерении контрольного опыта, Тест – значение поглощения измерении тестового опыта через 20 мин.

Трехмерные молекулярные модели исследуемых соединений были собраны программой ChemOffice версии 13.0 [17]. Минимизацию и стабилизацию полученных трехмерных структур проводили силовым полем MM2 [18]. Молекулярные модели исследуемых соединений были сохранены в формате \*.PDB и \*.SMILES. Молекулярные модели ферментов (AChE и BuChE) взяты из базы данных RCSB [19].

Молекулярный докинг проводили по методике «слепой способ», использовали програмные пакеты AutoDockVina и AutoDockTools [20]. Статистическую достоверность результатов докинга обеспечивали 5-кратной повторяемостью 20-и начальных конформаций для каждого соединения с объемом пространственного поиска, не превышающим 27000 Å<sup>3</sup>. Значение континума исчислений равно 500.

Конформационный анализ осуществляли с использованием программы DiscoveryStudioVisualizer v19.1.0.18287 [21]. Физико-химические и фармакокинетические параметры исследуемых соединений определяли с помощью онлайн-платформы SwissADME [10]. Статистический анализ результатов исследования проводили на основе комплексного применения стандартных статистических методов, включаю-

щих вычисления стандартных отклонений, средних значений, стандартных средних ошибок.

Токсичность соединений определяли с помощью онлайн-платформы admetSAR [22].

# ИНФОРМАЦИЯ ОБ АВТОРАХ

Топузян Виген Оникович, ORCID: https://orcid.org/0000-0002-1721-1993

Тосунян Сюзанна Рудиковна, ORCID: https://orcid.org/0000-0002-6641-4420

Макичян Ани Тиграновна, ORCID: https://orcid.org/0000-0003-0615-2542

Акопян Эдвард Акопович, ORCID: https://orcid.org/0000-0003-2409-1894

Оганесян Армен Арамович, ORCID: https://orcid.org/0000-0003-0879-6800

# КОНФЛИКТ ИНТЕРЕСОВ

Авторы заявляют об отсутствии конфликта интересов.

# ДОПОЛНИТЕЛЬНЫЕ МАТЕРИАЛЫ

Дополнительные материалы для этой статьи доступны по doi 10.31857/S0044460X23040017 для авторизованных пользователей.

# СПИСОК ЛИТЕРАТУРЫ

- Shimomura O. // FEBS Lett. 1979. Vol. 104. P. 220. doi 10.1016/0014-5793(79)80818-2
- 2. Топузян В.О., Казоян В.М. // Докл. НАН Армении. 2018. Т. 118. С. 268.
- 3. Топузян В.О., Казоян В.М., Тамазян Р.А., Айвазян А.Г., Галстян Л.Х. // ЖОрХ. 2018. Т. 54. С. 1355; Торигуап V.О., Kazoyan V.M., Tamazyan R.A., Aivazyan A.G., Galstyan L.Kh. // Russ. J. Org. Chem. 2018. Vol. 54. P. 1369. doi 10.1134/S1070428018090178
- 4. Топузян В.О., Оганесян А.А., Казоян В.М., Алексанян Е.Р. // Докл. НАН Армении. 2019. Т. 119. С. 162.
- 5. Оганесян А.А., Оганнесян Н.А., Тосунян С.Р., Топузян В.О. // Докл. НАН Армении. 2021. Т. 121. С. 61.
- 6. Топузян В.О., Оганесян А.А., Тосунян С.Р., Тамазян Р.А., Айвазян А.Г., Макичян А.Т. // ЖОХ. 2022. Т. 92. С. 1356. doi 10.31857/ S0044460X22090049; Topuzyan V.O., Hovhannisyan A.A., Tosunyan S.R., Tamazyan R.A., Aivazyan A.G., Makichyan A.T. // Russ. J. Gen. Chem. 2022. Vol. 92. P. 1610. doi 10.1134/S1070363222090043

- 7. Меншикова Е.Б., Ланкин В.З., Кандалинцева Х.В. Фенольные антоксиданты в биологии и медицине. Строение, свойства, механизмы действия. LAP Lambert Academic Publishing, 2012. С. 488.
- 8. Топузян В.О., Оганесян А.А., Макичян А.Т., Унанян Л.С. // ЖОХ. 2022. Т. 92. С. 755. doi 10.31857/ S0044460X22050110; Topuzyan V.O., Hovhannisyan A.A., Makichyan A.T., Hunanyan L.S. // Russ. J. Gen. Chem. 2022. Vol. 92. P. 819. doi 10.1134/ S1070363222050115
- Zhu Q.Y., Hackman R.M., Ensunsa J.L. // J. Agric. Food Chem. 2002. Vol. 50. P. 6929. doi 10.1021/jf0206163
- 10. *Daina A., Michielin O., Zoete V. //* Sci. Rep. 2017. Vol. 7. Article no. 42717. doi 10.1038/srep42717
- 11. Cheng F., Liu C., Jiang J., Lu W., Li W., Liu G., Zhou W., Huang J., Tang Y. // PLoS Comput. Biol. 2012. doi 10.1371/journal.pcbi.1002503
- Egan W.J., Merz K.M., Jr., Baldwin J.J. // J. Med. Chem. 2000. Vol. 43. N 21. P. 3867. doi 10.1021/jm000292e
- Lipinski C. // Drug Discovery Today: Technologies. 2004. Vol. 1. N 4. P. 337. doi 10.1016/j. ddtec.2004.11.007
- 14. *Martin Y.C.* // J. Med. Chem. 2005. Vol. 48. P. 3164. doi 10.1021/jm0492002
- Abdel-Galil E., Moawad E.B., El-Mekabaty A., Said G.E. // J. Heterocycl. Chem. 2018. Vol. 55. P. 1092. doi 10.1002/jhet.3139
- 16. Оганесян А.А., Макичян А.Т., Топузян В.О., Оганнесян Н.А. // Хим. ж. Армении. 2020. Т. 73. № 4. С. 381.
- 17. *Narayanaswamy V.K.*, *Rissdörfer M.*, *Odhav B.* // Int. J. Theor. Appl. Sci. 2013. Vol. 5. № 2. P. 43.
- Evans M.J., Moore J.S. // J. Chem. Educ. 2011. Vol. 88.
   P. 764. doi 10.1021/ed100517g
- 19. Burley S.K., Bhikadiya C., Bi C., Chen L., Di Costanzo L., Christie C., Dalenberg K., Duarte J.M., Dutta S., Feng Z., Ghosh S., Goodsell D.S., Green R.K., Guranovic V., Guzenko D., Hudson B.P., Liang Y., Lowe R., Namkoong H., Peisach E., Periskova I., Prlic A., Randle C., Rose A., Rose P., Sala R., Sekharan M., Shao C., Tan L., Tao Y.P., Valasatava Y., Voigt M., Westbrook J., Woo J., Yang H., Young J., Zhuravleva M., Zardecki C. // Nucl. Acids Res. 2021. Vol. 49. P. 437. doi 10.1093/nar/gkaa1038
- 20. *Trott O., Olson A.J.* // J. Comput. Chem. 2010. Vol. 31. N 2. P. 455. doi 10.1002/jcc.21334
- 21. BIOVIA Discovery Studio (2017) R2: A comprehensive predictive science application for the Life Sciences, San Diego, USA. https://discover.3ds.com/discovery-studio-visualizer-downlo
- 22. *Yang H., Lou C., Sun L., Li J., Cai Y., Wang Z., Li W., Liu G., Tang Y. //* Bioinformatics. 2018. Vol. 35. N 6. P. 1067. doi 10.1093/bioinformatics/bty707

# Synthesis, Anticholinesterase and Anti-Radical Activity of 2,3,5-Trisubstituted 4*H*-Imidazol-4-ones, Green Fluorescent Protein Chromophore Analogues

V. O. Topuzyan<sup>a</sup>, S. R. Tosunyan<sup>a</sup>, A. T. Makichyan<sup>a,b,\*</sup>, E. H. Hakobyan<sup>a</sup>, L. Kh. Galstyan<sup>c</sup>, and A. A. Hovhannisyan<sup>a</sup>

<sup>a</sup> Scientific Technological Center of Organic and Pharmaceutical Chemistry of National Academy of the Republic of Armenia, Yerevan, 0014 Armenia
 <sup>b</sup> Russian-Armenian University, Yerevan, 0051 Armenia
 <sup>c</sup> Yerevan State University, Yerevan, 0025 Armenia
 \*e-mail: ani.makichvan@rau.am

Received January 23, 2023; revised February 10, 2023; accepted February 14, 2023

The one-pot synthesis of N-substituted  $\alpha,\beta$ -dehydrotyrosyl dipeptides was carried out by the azlactone method. The target dipeptides were obtained in good yields (53–79%). From the latter, 2,3,5-trisubstituted 4-imidazolones were obtained using 1,1,1,3,3,3-hexamethyldisilazane as a dehydrating agent. It was found that in the case of  $\beta$ -alanine-containing peptides, abstraction of the methyl ester of acrylic acid and the formation of 2,5-disubstituted 4-imidazoline were observed. Antiradical and anticholinesterase properties of the synthesized compounds were studied. Docking analysis was carried out for both some dipeptides and imidazole-4-ones.

**Keywords:**  $\alpha,\beta$ -dehydropeptides, 4*H*-imidazol-4-ones, hexamethyldisilazane, antiradical properties, anticholinesterase properties